多维随机变量

章节内容3

- 1. 二维离散型随机变量。
- 2. 二维连续随机变量。
- 3. 联合分布函数。
- 4. 边缘分布。
- 5. 条件分布与独立性。
- 6. 二维随机变量的变换及函数的分布。

3.1 二维离散型随机变量

3.1.1 二维离散型随机变量的典型案例

案例 3.1 在射击游戏中,参加游戏的人先掷一次骰子,若出现点数为 X,则射击 X 次。设甲击中目标的概率为 p,记击中目标的次数为 Y。求(X,Y)的分布律。

分析 联合分布律综合反映了射手的"射击技术"和"骰子运气"。

第1步 确定一维随机变量的样本空间。

① X 的取值范围是: $1 \sim 6$: ② Y 的取值范围是: $0,1,2,\dots,X$

第2步 计算条件发生的概率和条件概率。

(1)条件发生的概率为

$$P(X=i) = 1/6, i = 1, 2, \dots, 6$$
 (3.1)

(2)条件概率为

$$P\{Y=j \mid X=i\} = C_i^j p^j (1-p)^{i-j}, q=1-p; j=0,1,2,\dots,i$$

第3步 计算联合分布律。

若记 a=1/6,则对于 $j \leq i$, $i=1,2,\dots,6$,有

$$p_{ij} = P\{X = i, Y = j\} = P\{Y = j \mid X = i\} P\{X = i\} = a \cdot C_i^j p^j q^{i-j}$$
(3.2)

联合分布律的具体形式如表 3.1 所示。

表 3.1	联合分布律表	(射击游戏)
-------	--------	--------

Y			2	X		
	1	2	3	4	5	6
0	$a C_1^0 p^0 q^1$	$a\mathrm{C}_2^{\scriptscriptstyle 0}p^{\scriptscriptstyle 0}q^{\scriptscriptstyle 2}$	$a\mathrm{C}_3^{\scriptscriptstyle 0}p^{\scriptscriptstyle 0}q^{\scriptscriptstyle 3}$	$a\mathrm{C}_4^0p^{0}q^{4}$	$a\mathrm{C}_5^{\scriptscriptstyle 0}p^{\scriptscriptstyle 0}q^{\scriptscriptstyle 5}$	$a\mathrm{C}_6^{\scriptscriptstyle 0}p^{\scriptscriptstyle 0}q^{\scriptscriptstyle 6}$
1	$a C_1^1 p^1 q^0$	$a\operatorname{C}_2^1p^1q^1$	$a\mathrm{C}_3^1p^1q^2$	$a\operatorname{C}_{4}^{1}p^{1}q^{3}$	$a{ m C}_5^1p^{1}q^{4}$	$a{ m C}_6^1p^1q^5$
2	0	$a\mathrm{C}_2^2p^2q^0$	$a\mathrm{C}_3^2p^2q^1$	$a\operatorname{C}_{4}^{2}p^{2}q^{2}$	$a{ m C}_5^2{p^{2}}q^{3}$	$a\mathrm{C}_6^2p^2q^4$

Y	X					
	1	2	3	4	5	6
3	0	0	$a\mathrm{C}_3^3p^3q^0$	$a\mathrm{C}_4^3p^3q^1$	$a{ m C}_5^3p^3q^2$	$a \operatorname{C}_6^3 p^3 q^3$
4	0	0	0	$a\mathrm{C}_4^4p^4q^0$	$a\mathrm{C}_5^4p^4q^1$	$a\mathrm{C}_6^4p^4q^2$
5	0	0	0	0	$a{ m C}_5^5p^{5}q^{0}$	$a{ m C}_6^5p^{5}q^{1}$
6	0	0	0	0	0	$a\mathrm{C}_6^6p^6q^0$

3.1.2 二维离散型随机变量的典型分析思路

问题 3.1 设随机变量 $X_i \sim \begin{pmatrix} -1 & 0 & 1 \\ 1/4 & 1/2 & 1/4 \end{pmatrix}$ (i=1,2),且满足 $P\{X_1X_2=0\}=1$,则 $P\{X_1 = X_2\} = ()$

$$X_1 = X_2$$
 $= ($

$$(A)0$$
 $(B)1/4$

$$(C)1/2$$
 (D)1

分析 需注意 X_1, X_2 同分布未必独立。因为 $P\{X_1X_2=0\}=1$,所以 $P\{X_1X_2\neq0\}=1$ 0,由此可列出如表 3.2 所示的联合分布律表。

(1)在联合分布律表中,表 3.2 中注明"①"的位置概率全为 0,即

$$P\{X_1 = -1, X_2 = -1\} = P\{X_1 = -1, X_2 = 1\} = 0$$

 $P\{X_1 = 1, X_2 = -1\} = P\{X_1 = 1, X_2 = 1\} = 0$

(2)依据全概率公式,表 3.2 中注明"②"的位置概率为

$$P\{X_1 = -1, X_2 = 0\} = P\{X_1 = 0, X_2 = -1\} = 1/4$$

 $P\{X_1 = 1, X_2 = 0\} = P\{X_1 = 0, X_2 = 1\} = 1/4$

(3)依据规范性,表 3.2 中注明"③"的位置概率为

$$P\{X_1 = 0, X_2 = 0\} = 0$$

综上,可得 $P(X_1 = X_2) = 0$,故选A。

表 3.2 联合分布律表的填表顺序

X_{2}		X	1	
	-1	0	1	$p_{ \cdot _j}$
<u>-1</u>	①	2	1)	1/4
0	2	3	2	1/2
1	1	2	1	1/4
<i>p</i> _i .	1/4	1/2	1/4	_

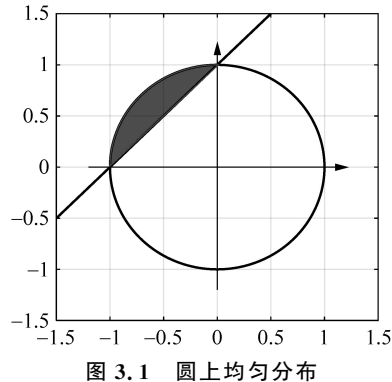
3.2 二维连续型随机变量

3.2.1 二维连续型随机变量的典型案例

问题 3.2 如图 3.1 所示,设二维连续型随机变量(X,Y)服从单位圆域 $G = \{(x,y) \mid$ $x^2 + y^2 \le 1$ 上的均匀分布,求其联合密度函数,并计算概率 $P\{X \le Y - 1\}$ 。

仿真计算3.1

close all, left = -1.2; right = 1.2; up = 1.2; down = -1.2; a_right = 0.05;a_up = a_right * (up-down)/(right-left); plot([left,right],[0,0],'k-'),grid on,hold onplot([right-a right,right,right-a right],[a up,0,-a up],'k-') plot([0,0],[up,down],'k-')plot([-a_right,0,a_right],[up-a_up,up,up-a_up],'k-') theta = $0:0.01:2 \times pi;x = cos(theta);y = sin(theta);n =$ round(length(y)/4); plot(x,y,'k-'), plot([-1.5,0.5],[-1.5,0.5]+1,'k-')H pa = patch([x(n:2*n)], [y(n:2*n)], [0 0 0]; set(H pa,'EdgeColor', [0,0,1],'EdgeAlpha',1,'FaceAlpha',0.7), set(gcf, 'Position', [100 100 330 300]), syms x, int(sqrt(1 - x^2) - x - 1, -1,0)/pi



二维连续型随机变量的典型困难在刻画非零密度的上边界-下边界-左边界-右边 界。随机变量 (X,Y)的联合密度函数为

$$f(x,y) = \frac{1}{\pi}, x^2 + y^2 \le 1$$
 (3.3)

利用几何概型。如图 3.1 所示,依据几何概型公式有

$$P\{X \leqslant Y - 1\} = \frac{\overline{\text{mR}}(\overline{\text{M}})}{\overline{\text{mR}}(\overline{\text{M}})} = \frac{1}{\pi} \left(\frac{\pi}{4} - \frac{1}{2}\right) = \frac{\pi - 2}{4\pi}$$
 (3.4)

利用积分公式。如图 3.1 所示,阴影面的上边界为 $\sqrt{1-x^2}$,下边界为 x+1, 方法二 经变换得

$$P\{X \leqslant Y - 1\} = \int_{X \leqslant Y - 1} f(x, y) \, dx \, dy = \int_{-1}^{0} \int_{x + 1}^{\sqrt{1 - x^2}} \frac{1}{\pi} dx \, dy$$
$$= \frac{1}{\pi} \int_{-1}^{0} \sqrt{1 - x^2} - x - 1 \, dx = \frac{1}{\pi} \left(\frac{\pi}{4} - \frac{1}{2} \right)$$
(3.5)

二维连续型随机变量的典型分析思路 3. 2. 2

问题 3.3 设(X,Y)的概率密度为

$$f(x,y) = k e^{-(2x+y)}, x > 0, y > 0$$
 (3.6)

试确定常数 k,并计算概率 $P\{Y \leq X\}$ 。

依据概率密度的规范性可知 k=2,实际上有

$$1 = k \int_{0}^{+\infty} \int_{0}^{+\infty} e^{-(2x+y)} dx dy = k \int_{0}^{+\infty} e^{-2x} dx \cdot \int_{0}^{+\infty} e^{-y} dy = \frac{k}{2}$$
 (3.7)

另外,如图 3.2 所示,有

$$P\{Y \leqslant X\} = \iint_{D} f(x,y) \, dx \, dy = \int_{0}^{+\infty} \int_{0}^{x} 2e^{-(2x+y)} \, dy \, dx = \int_{0}^{+\infty} 2e^{-2x} \int_{0}^{x} e^{-y} \, dy \, dx$$
$$= \int_{0}^{+\infty} 2e^{-2x} (1 - e^{-x}) \, dx = \int_{0}^{+\infty} 2e^{-2x} - 2e^{-3x} \, dx = 1 - \frac{2}{3} = \frac{1}{3}$$

仿真计算 3.2

close all, hold on, grid on,

 $H_pa = patch([0,1,1,0],[0,0,1,0],'c')$

plot([0,1.2],[0,1.2],'r','LineWidth',2)

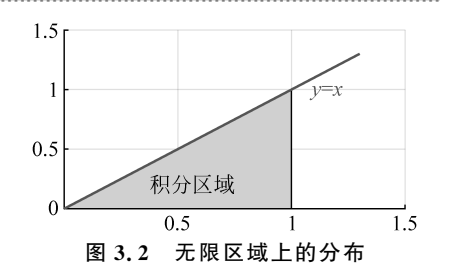
text(1.05,1,'y = x','FontSize',20,'Color','r')

text(0.5,0.2,'积分区域','FontSize',20,'Color','k')

set(gca,'XTick',[],'YTick',[]),box off

set(gcf, 'Position', [100 100 500 300]),

syms x, int(2 * (exp(-2 * x)-exp(-3 * x)), 0, inf)



3.2.3 蒲丰投针及其仿真试验

案例 3.2 将一张画有很多等距平行线(间距 $d \ge 1$)的白纸平放在地上,再将一根长度为 1 的针投到白纸上面,记事件 A 表示"针与平行线相交"。试求概率 P(A)。

分析 如图 3.3 所示,记针的中点到最近一条平行线的距离为 X,针与平行线的夹角 为 φ ,因 $X \sim U(0,d/2)$, $\varphi \sim U(0,\pi)$,则联合分布密度为

$$f(x,\varphi) = \frac{2}{\pi d}, 0 < x < \frac{d}{2}, 0 < \varphi < \pi$$
 (3.8)

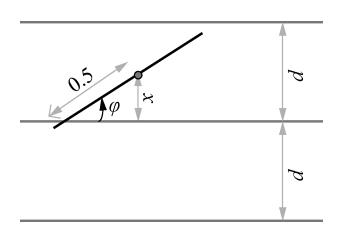


图 3.3 针与平行线相交示意图

针与平行线相交等价于 $X \leq \frac{1}{2} \sin \varphi$,故所求概率为

$$P(A) = P\left\{X \leqslant \frac{1}{2}\sin\varphi\right\} = \iint_{x \leqslant \frac{1}{2}\sin\varphi} f(x,\varphi) \, \mathrm{d}x \, \mathrm{d}\varphi = \frac{2}{\pi d} \int_{0}^{\pi} \int_{0}^{\frac{1}{2}\sin\varphi} \mathrm{d}x \, \mathrm{d}\varphi = \frac{2}{\pi d} \quad (3.9)$$

如图 3.4 所示,当 d=1 时,有 $P(A)=\frac{2}{\pi}\approx 0.6369$,仿真统计可验证该结论。

仿真计算3.3

close all,clear,clc,box on,hold on,grid on,nn = 1:6;
for i = nn,rng(0),l = 1,d = 1,n = 1e4 * i;
X = unifrnd(0,d/2,n,1);Phi = unifrnd(0,pi,n,1);
Yes = X < sin(Phi) * 1/2;m = sum(Yes);Pa(i) = m/n;end
plot(1e4 * nn,ones(size(nn)) * 2 * 1/pi/d,'r-','line-width'.2)</pre>

set(gca, 'ytick', [0.632, 2 * 1/pi/d, 0.638], 'FontSize', 12)

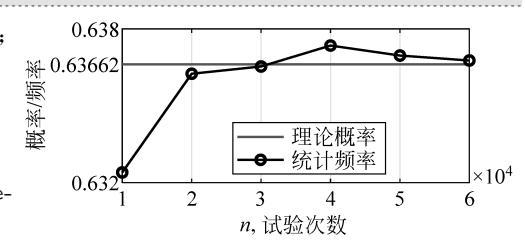


图 3.4 理论概率和统计频率

plot(1e4 * nn,Pa,'k-o','linewidth',2),xlabel('n,试验次数') legend('理论概率','统计频率','location','south') set(gcf,'Position',「100 100 400 200]),ylabel('概率/频率')

3.2.4 一论圆概率误差

案例 3.3 如图 3.5 所示,圆概率误差(circular error probable,CEP) 是衡量导弹弹着点散布的关键指标之一,用于表征射击密集度性能,等于出现概率为 50%的圆形误差范围的半径。换言之,在弹着平面上,以平均弹着点为中心,多次射击中有 50%的弹着点到中心的距离小于 CEP。例如,CEP=1 km,表示仅有 50%的弹着点落入直径 1 km 的圆内。因此,CEP 值越小,表示导弹的命中精度越高;反之,CEP 值越大,说明导弹的命中精度越差。若导弹的落点坐标为(X,Y),其密度函数为

$$f(x,y) = \frac{1}{2\pi\sigma^2} e^{\frac{x^2 + y^2}{2\sigma^2}}, \quad -\infty < x, y < \infty$$
 (3.10)

试计算 CEP。

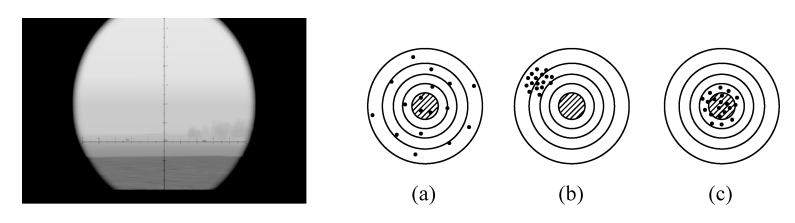


图 3.5 瞄准镜的稳定性和准确性示意图

分析 CEP 对应的概率为

$$P(\text{CEP}) = \iint_{x^2 + y^2 \leqslant \text{CEP}^2} \frac{1}{2\pi\sigma^2} e^{-\frac{x^2 + y^2}{2\sigma^2}} dx dy$$
 (3.11)

换元得

$$\begin{split} P\left(\text{CEP}\right) &= \int_{0}^{2\pi} \int_{0}^{\text{CEP}} \frac{r}{2\pi\sigma^{2}} \mathrm{e}^{-\frac{r^{2}}{2\sigma^{2}}} \mathrm{d}r \, \mathrm{d}\theta = \int_{0}^{\text{CEP}} \frac{r}{\sigma^{2}} \mathrm{e}^{-\frac{r^{2}}{2\sigma^{2}}} \, \mathrm{d}r \\ &= \int_{0}^{\frac{\text{CEP}^{2}}{2\sigma^{2}}} \mathrm{e}^{-R} \, \mathrm{d}R = 1 - \mathrm{e}^{-\frac{\text{CEP}^{2}}{2\sigma^{2}}} \end{split}$$

解得

$$CEP = \sigma \sqrt{-2\ln(1 - P(CEP))}$$
(3.12)

将 P(CEP)=50%代入上式得

$$CEP = \sigma \sqrt{2\ln 2} = 1.177\sigma \tag{3.13}$$

如图 3.6 所示,可知:①约 50% 的导弹会落在 CEP 内(1.177 σ);②约 43.7% 的导弹会落在 CEP 外、2CEP 内(2.3548 σ);③约 6.1%的子弹会落在 2CEP 外、3CEP 内(3.5322 σ)。

仿真计算 3.4

close all,clear,clc,box on,hold on,grid on, sigma = 1,CEP = sigma * sqrt(2 * log(2))

CEPs = [1:3] * CEP

P = 1-exp(-CEPs.^2/(2 * sigma^2))

semilogy(CEPs/CEP,P,'r-o','linewidth',2)

set(gca,'ytick',P,'FontSize',12),xlabel('n,CEP的倍数'),yticklabels({'50 %','93.9 %','99.8 %'})

ylabel('P(n),CEP倍数对应的概率'),

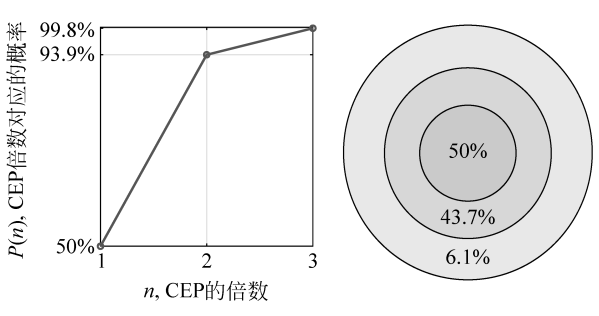


图 3.6 CEP 倍数与对应概率

3.3 联合分布函数

set(gcf, 'Position', [100 100 400 400])

3.3.1 离散型联合分布的典型形态

问题 3.4 试求二维离散型随机变量(X,Y)的分布函数,其中 X,Y 的联合分布律为

$$Y \setminus X$$
 1 2
1 0.1 0.4
2 0.2 0.3 (3.14)

分析 如图 3.7 所示,若 X,Y 的不同取值分别为 m,n,则离散型联合分布的不同取值数量至多为 mn+1,每个分布律取值对应一个矩形域,所以有

$$F(x,y) = \begin{cases} 0, & x < 1 \text{ if } y < 1 \\ 0.1, & 1 \le x < 2, 1 \le y < 2 \\ 0.1 + 0.2, & 1 \le x < 2, y \ge 2 \\ 0.1 + 0.4, & x \ge 2, 1 \le y < 2 \\ 1, & x \ge 2, y \ge 2 \end{cases}$$
(3.15)

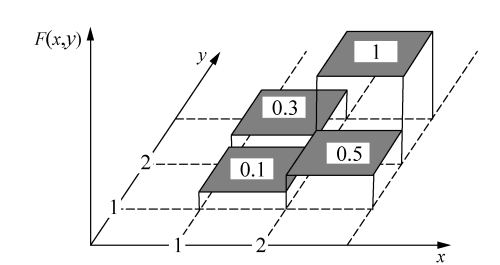


图 3.7 离散型联合分布的典型形态

3.3.2 边缘密度无法决定联合密度

利用密度函数计算分布函数的步骤如下。

步骤 1 确定联合密度函数 f(x,y) 和非零密度区域 G;

步骤 2 找到 F(x,y) = 0 和 F(x,y) = 1 对应的区域;

步骤 3 计算 G 上的联合分布函数。

评注 3.1 边缘密度无法确定联合密度

依据联合分布函数 F(x,y) 可以算得 $F_X(x)$ 和 $F_Y(y)$, 反之则不行, 除非 X 和 Y 之间有独立性约束。换言之, 联合密度一旦确定, 边缘密度就确定了, 反之则不成立。

反例 3.1 考虑如下两个不同的联合密度函数 f(x,y)和 g(x,y)(见图 3.8):

$$\begin{cases} f(x,y) = x + y, x \in [0,1], y \in [0,1] \\ g(x,y) = (1/2 + x)(1/2 + y), x \in [0,1], y \in [0,1] \end{cases}$$
(3.16)

它们有相同的边缘密度:

$$f_X(x) = (1/2 + x), x \in [0,1], f_Y(y) = (1/2 + y), y \in [0,1]$$
 (3.17)

仿真计算 3.5

clc.close all.clear,x = 0:0.02:1;y = x;[x1,y1] = meshgrid(x,y); % 网格化 subplot(121),box on,f = x1 + y1;mesh(x,y,f);xlabel('x');ylabel('y');zlabel('f(x,y)'); set(gca,'fontsize',12),view(20,16) subplot(122),box on,f = (x1 + 0.5). * (y1 + 0.5);mesh(x,y,f);xlabel('x');ylabel('y');zlabel('g'(x,y)'); set(gca,'fontsize',12),view(20,16),set(gcf,'position', [100,100,700,200])

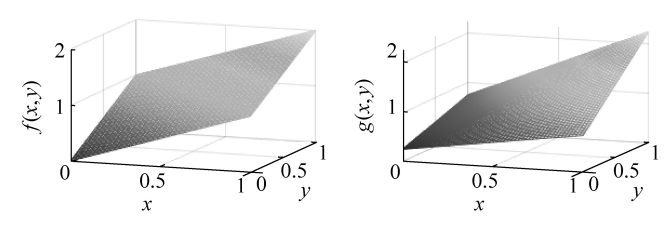


图 3.8 反例 3.1 的密度曲面

反例 3.2 两个不同的联合正态分布 $N(\mu_1, \mu_2, \sigma_1^2, \sigma_2^2, \rho_1 = 0.6)$ 和 $N(\mu_1, \mu_2, \sigma_1^2, \sigma_2^2, \rho_2 = 0)$, (见图 3.9), 有相同的边缘分布 $N(\mu_1, \sigma_1^2)$, $N(\mu_2, \sigma_2^2)$ 。

仿真计算 3.6

clc.close all.clear.mu = $[0\ 0]$;x = -3:0.1:3;y = x;[x1,y1] = meshgrid(x,y);% 网格化 sig = $[0.25\ 0.3;0.3\ 1]$;f = mvnpdf($[x1(:)\ y1(:)]$,mu,sig);F = reshape(f,numel(y),numel(x));% 矩阵重塑 subplot(121),mesh(x,y,F);box on,xlabel('x');ylabel('y');zlabel('f(x,y)');set(gca,'fontsize',12), sig = $[0.25\ 0;0\ 1]$;f = mvnpdf($[x1(:)\ y1(:)]$,mu,sig);F = reshape(f,numel(y),numel(x));% 矩阵重塑 subplot(122),mesh(x,y,F);box on,xlabel('x');ylabel('y');zlabel('g(x,y)'); set(gca,'fontsize',12),set(gcf,'position',[100,100,700,200])

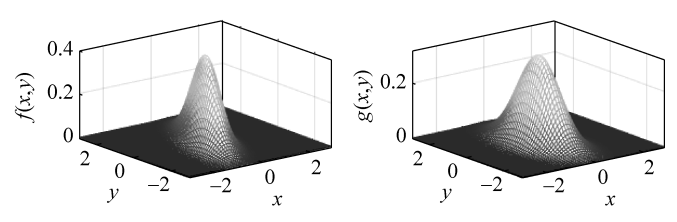


图 3.9 反例 3.2 的密度曲面

反例 3.3 联合正态密度 $f(x,y) = \frac{1}{\pi} e^{-(x^2+y^2)}$ 和非正态密度 $g(x,y) = \frac{1}{\pi} e^{-(x^2+y^2)}$.

 $(1+\sin x \cdot \sin y)$ (见图 3.10),有相同的边缘密度:

$$f(x) = \frac{1}{\sqrt{\pi}} e^{-x^2}, f(y) = \frac{1}{\sqrt{\pi}} e^{-y^2}$$
 (3.18)

仿真计算3.7

clc.close all.clear, $mu = [0\ 0]$; x = -3.0.1.3; y = x; [x1,y1] = meshgrid(x,y); $F = exp(-x1.^2-y1.^2)/pi$; subplot(121), mesh(x,y,F); box on xlabel('x'); ylabel('y'); zlabel('f(x,y)'); set(gca, 'fontsize', 12), view(20,16) $F = (exp(-x1.^2-y1.^2)/pi)$. *(1 + sin(x1). *sin(y1)); subplot(122), mesh(x,y,F); box on. xlabel('x'); ylabel('y'); zlabel('g(x,y)');

$$\begin{split} & \text{subplot(122),mesh(x,y,F);box on,xlabel('x');ylabel('y');zlabel('g(x,y)');} \\ & \text{set(gca,'fontsize',12),view(20,16),set(gcf,'position',[100,100,700,200])} \end{split}$$

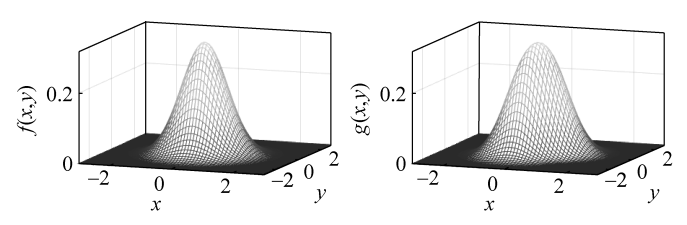


图 3.10 反例 3.3 的两个联合密度曲面

反例 3.4 两个独立的正态分布的线性组合服从正态分布,但是不独立的正态分布的 线性组合未必服从正态分布。例如,如下的两个联合密度(见图 3.11):

$$f(x, y) = \frac{1}{\pi} e^{-(x^2 + y^2)}$$
 (3.19)

$$f(x, y) = \frac{1}{\pi} e^{-(x^2 + y^2)} \left(1 + \frac{\sin x}{|x|} \cdot \frac{\sin y}{|y|} \right)$$
 (3.20)

后者既不服从联合正态分布,也无法分离(即不独立),但是与前者有相同的边缘密度。

仿真计算3.8

clc,close all,clear,mu = $[0\ 0]$;x = -3:0.1:3;y = x;[x1,y1] = meshgrid(x,y); F = exp(-x1.^2-y1.^2)/pi;subplot(121),mesh(x,y,F);box on xlabel('x');ylabel('y');zlabel('f(x,y)');set(gca,'fontsize',12),view(-30,30) F = (exp(-x1.^2-y1.^2)/pi). * (1 + sin(x1). * sin(y1)./abs(x1)./abs(y1)); subplot(122), mesh(x,y,F); box on, xlabel('x'); ylabel('y'); zlabel('g(x,y)'); set(gca,'fontsize',12), view(-30,30), set(gcf,'position', [100,100,700,200])

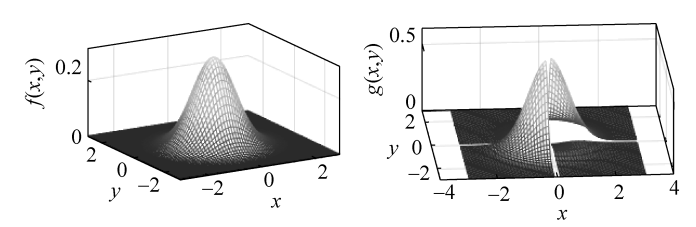


图 3.11 反例 3.4 的两个联合密度曲面

3.3.3 协同作战中的联合分布

评注 3.2 教学能手比赛案例——协同作战

协同作战中的风险意识及最优决策,利用了二维等可能分布:提前出发和加快行军速度是两种不同的决策方式,在相同风险控制条件下,它们的代价不同。

- **案例 3.4** 在某次军事演习中,舟桥连收到命令要赶到某小河的 D 岸为行进中的战斗部队架设浮桥。假设舟桥连将于夜间 0 点到 1 点之间到达河岸;战斗部队将于夜间 1 点至 2 点之间到达河岸。
- (1) 若舟桥连需要 0.5 小时完成架桥,问战斗部队到达河岸能立即过河的概率是否满足 5%的风险控制要求?
- (2) 舟桥连连长作为决策者,面临舟桥连和战斗部队的双向要求:早到意味着本连队有早起压力;迟到意味着拖累战斗部队。如何决策才能满足5%的风险控制要求?

分析 记x,y分别为舟桥连与战斗部队到达河岸的时间,则联合密度为

$$f(x,y) = 1,0 \le x \le 1,1 \le y \le 2$$
 (3.21)

(1)记 A={战斗部队到达河岸时不能立即过河},对应的积分区域为

$$G_1 = \{(x, y) \mid 0.5 \le x \le 1.1 \le y \le x + 0.5\}$$

则战斗部队能立即过河的概率是

$$P(\overline{A}) = 1 - \int_{0.5}^{1} \int_{1}^{x+0.5} 1 du dv = 1 - 0.5^{2}/2 = 87.5\%$$
 (3.22)

(2)**方法一** 提前出发实现提前到达,到达时间由 0 点到 1 点变为 0-t 点到 1-t 点,相当于在不提前出发的条件下减少搭桥时间,搭桥时间从 0.5 点变为 0.5-t 点,如图 1.8(b) 所示,战斗部队不能立即过河对应的积分区域为

$$G_2 = \{(x,y) \mid 0.5 + t \leq x \leq 1, 1 \leq y \leq x + 0.5 - t\}$$

则战斗部队能立即过河的概率为

$$P(\overline{A}) = 1 - \int_{0.5+t}^{1} \int_{1}^{x+0.5-t} 1 \, dy \, dx = 1 - \frac{(0.5-t)^2}{2} = 95\% \Rightarrow t \approx 0.1838$$
 (3.23)

方法二 加快行军速度实现提前到达,到达时间由 0 点到 1 点变为 0 点到 1-t 点,如图 1.8(c)所示,联合密度为

$$f(x,y) = (1-t)^{-1}, 0 \le x \le 1-t, 1 \le y \le 2$$
 (3.24)

战斗部队不能立即过河对应的积分区域为

$$G_3 = \{(x,y) \mid 0.5 \leqslant x \leqslant 1-t, 1 \leqslant y \leqslant x+0.5\}$$

则战斗部队能立即过河的概率为

$$P(\overline{A}) = 1 - \int_{0, 5+t}^{1} \int_{1}^{x+0.5-t} (1-t)^{-1} dy dx = 1 - \frac{(0.5-t)^{2}}{2} = 95\%$$
 (3.25)

解得

$$t \approx 0.2209 > 0.1838$$
 (3.26)

评注 3.3 方式不同付出的代价也不同

为了满足5%的风险控制要求,提高行军速度所耗费的时间比提前出发所耗费的时间 更多,而且在体能上消耗更大。养兵千日,用兵一时,只有通过充分训练才能将行军速度调 整到更快。

3.4 边缘分布

3.4.1 非零密度区域的边界表达式

问题 3.5 如图 3.12 所示,设平面区域 D 由曲线 $y = \frac{1}{x}$ 及直线 y = 0, x = 1, $x = e^2$ 所围成,二维随机变量(X,Y) 在区域 D 上服从均匀分布,求(X,Y) 关于 X,Y 的边缘概率密度。

仿真计算3.9

close all,x = 1:0.01:exp(2),y = 1./x; plot(x,y,'-r','LineWidth',2); hold on,grid on, plot([1,exp(2)],[0,0],'--k','LineWidth',2); hold on,grid on, H_pa = patch([1,exp(2),fliplr(x),1],[0,0,fliplr(y),0],'c') text(2,0.5,'上界:y = 1/x',FontSize',12,'Color','r') text(1,-0.1,'下界:y = 0','FontSize',12,'Color','k')

legend('上界:y = 1/x','下界:y = 0','积分区域','location','northeast') set(gca,'XTick',[0,1],'YTick',[-1,0,1]),box on,ylim([-.2,1]) set(gcf,'Position',[100 100 250 200])

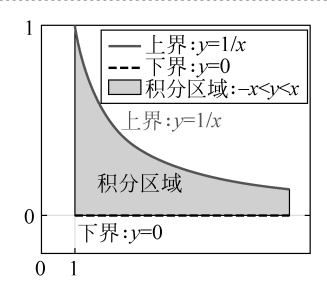


图 3.12 问题 3.5 的非零密度区域

分析 区域 D 的面积为

text(2,0.25,'积分区域','FontSize',12,'Color','k')

$$A = \int_{1}^{e^{2}} \frac{1}{x} dx = \ln e^{2} = 2$$
 (3.27)

故区域 D 上的联合密度为

$$f(x,y) = 1/2, (x,y) \in D$$
 (3.28)